

Universidade Federal de Minas Gerais - UFMG
Programa de Pós-Graduação em Engenharia Elétrica

Parallel Distributed Compensator(PDC) de um Pendulo Invertido Via Representação Takagi-Sugeno

Número de matrícula: 2016086496
Estudante: Jonatan Mota Campos
Orientador: Guilherme Vianna Raffo
Co-orientador:

23 de março de 2021

Sumário

1	Modelagem Dinâmica	1
1.1	Formulação Newton Euler e Representação Via Sistema Descritor	1
1.2	Representação Takagi-Sugeno Via Não Linearidade de Setor	2
1.3	Código - ScriptTakagiSugenoModel.m	3
2	Controle	6
2.1	Lei de Controle PDC	6
2.1.1	Resultados PDC Control	8
2.2	Lei de Controle PDC com \mathcal{H}_∞	11
2.2.1	Resultados PDC com \mathcal{H}_∞	11
3	Comparação	14
3.1	Comparando os Controladores	14

1 Modelagem Dinâmica

1.1 Formulação Newton Euler e Representação Via Sistema Descritor

Pela modelagem de Newton Euler, que não será demonstrada aqui por já ter sido demonstrada no arquivo fornecido para o trabalho obtêm-se o modelo dinâmico abaixo:

$$\begin{bmatrix} M + m & -ml\cos(\theta) \\ -ml\cos(\theta) & ml^2 \end{bmatrix} \begin{bmatrix} \ddot{s} \\ \ddot{\theta} \end{bmatrix} + \begin{bmatrix} 0 & ml\sin(\theta) \\ 0 & 0 \end{bmatrix} \begin{bmatrix} \dot{s} \\ \dot{\theta} \end{bmatrix} + \begin{bmatrix} (M + m)g\sin(\alpha) \\ -mgl\sin(\alpha + \theta) \end{bmatrix} = \begin{bmatrix} u - k_v\dot{s} \\ 0 \end{bmatrix} \quad (1)$$

Onde, M é a massa do carrinho, m é a massa do pendulo, g é a aceleração da gravidade, l é a distancia entre o centro de gravidade do pendulo e seu eixo de rotação, s é a distância percorrida pelo carrinho, θ é a inclinação do pendulo, e k_v é uma constante de atrito viscoso.

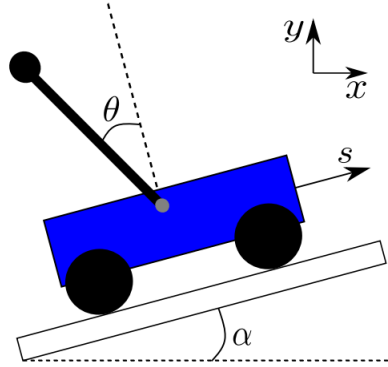


Figura 1: Pêndulo Invertido

Definindo ainda $v = \dot{s}$ e $\omega = \dot{\theta}$ escreve-se a dinâmica em malha aberta como,

$$\begin{bmatrix} 1 & 0 & 0 & 0 \\ 0 & 1 & 0 & 0 \\ 0 & 0 & M + m & -ml\cos(\theta) \\ 0 & 0 & -ml\cos(\theta) & ml^2 \end{bmatrix} \begin{bmatrix} \dot{s} \\ \dot{\theta} \\ v \\ \omega \end{bmatrix} = \begin{bmatrix} 0 & 0 & 1 & 0 \\ 0 & 0 & 0 & 1 \\ 0 & 0 & -k_v & -ml\sin(\theta)\omega \\ 0 & mgl\cos(\alpha)\text{sinc}(\theta) & 0 & 0 \end{bmatrix} \begin{bmatrix} s \\ \theta \\ v \\ \omega \end{bmatrix} + \begin{bmatrix} 0 \\ 0 \\ 1 \\ 0 \end{bmatrix} u + \begin{bmatrix} 0 \\ 0 \\ -(M + m)g\text{sinc}(\alpha) \\ mgl\cos(\theta)\text{sinc}(\alpha) \end{bmatrix} \alpha \quad (2)$$

Fazendo $\bar{\alpha} = \text{sinc}(\alpha)\alpha$ escreve-se o sistema descritor quasi-LPV como,

$$E(x)\dot{x} = A(x)x + B_u u + B_\alpha(x)\bar{\alpha} \quad (3)$$

$$\begin{bmatrix} 1 & 0 & 0 & 0 \\ 0 & 1 & 0 & 0 \\ 0 & 0 & M + m & -ml\cos(\theta) \\ 0 & 0 & -ml\cos(\theta) & ml^2 \end{bmatrix} \begin{bmatrix} \dot{s} \\ \dot{\theta} \\ v \\ \omega \end{bmatrix} = \begin{bmatrix} 0 & 0 & 1 & 0 \\ 0 & 0 & 0 & 1 \\ 0 & 0 & -k_v & -ml\sin(\theta)\omega \\ 0 & mgl\cos(\alpha)\text{sinc}(\theta) & 0 & 0 \end{bmatrix} \begin{bmatrix} s \\ \theta \\ v \\ \omega \end{bmatrix} + \begin{bmatrix} 0 \\ 0 \\ 1 \\ 0 \end{bmatrix} u + \begin{bmatrix} 0 \\ 0 \\ -(M + m)g \\ mgl\cos(\theta) \end{bmatrix} \bar{\alpha} \quad (4)$$

1.2 Representação Takagi-Sugeno Via Não Linearidade de Setor

Nessa seção será utilizada a técnica de não linearidade de setor para buscar um modelo Takagi-Sugeno exato dentro de um domínio compacto. São escolhidas as seguintes não linearidades:

$$\begin{cases} z_1 = \cos(\theta) \\ z_2 = \sin(\theta)\omega \\ z_3 = \cos(\alpha)\text{sinc}(\theta) \end{cases} \quad (5)$$

Dessa forma obtemos um modelo dinâmico na forma,

$$\dot{\mathbf{x}} = \left\{ \begin{bmatrix} 1 & 0 & 0 & 0 \\ 0 & 1 & 0 & 0 \\ 0 & 0 & M+m & -mlz_1(x) \\ 0 & 0 & -mlz_1(x) & ml^2 \end{bmatrix} \right\}^{-1} \left\{ \begin{bmatrix} 0 & 0 & 1 & 0 \\ 0 & 0 & 0 & 1 \\ 0 & 0 & -k_v & -mlz_2(x) \\ 0 & mglz_3(x, \alpha) & 0 & 0 \end{bmatrix} \begin{bmatrix} s \\ \theta \\ v \\ \omega \end{bmatrix} + \begin{bmatrix} 0 \\ 0 \\ 1 \\ 0 \end{bmatrix} u + \begin{bmatrix} 0 \\ 0 \\ -(M+m)g \\ mglz_1(x) \end{bmatrix} \bar{\alpha} \right\} \quad (6)$$

$$\dot{\mathbf{x}} = \mathbf{f}(\mathbf{x}, \mathbf{u}, \hat{\alpha}) \quad (7)$$

Como $\dot{\mathbf{x}} = \mathbf{f}(\mathbf{0}, \mathbf{0}, \mathbf{0}) = 0$ podemos utilizar a técnica da não linearidade de setor. Tomando a condição de que estamos projetando um controlador para atuar em um terreno com inclinação máxima e mínima conhecidas de forma que $\alpha \in [-10^\circ, 10^\circ]$, além de que da geometria do problema $\theta \in [-80^\circ, 80^\circ]$, e assumindo que a velocidade angular do pendulo varie como $\omega \in [-\frac{\pi}{9}(\frac{rad}{s}), \frac{\pi}{9}(\frac{rad}{s})]$.

$$a_1^{max} = \max z_1 = 1 \quad (8)$$

$$a_1^{min} = \min z_1 = 0.1736 \quad (9)$$

$$(10)$$

$$a_2^{max} = \max z_2 = 0.3438 \quad (11)$$

$$a_2^{min} = \min z_2 = -0.3431 \quad (12)$$

$$(13)$$

$$a_3^{max} = \max z_3 = 1 \quad (14)$$

$$a_3^{min} = \max z_3 = 0.6946 \quad (15)$$

$$(16)$$

Podemos escrever as funções de pertinência utilizando a ideia de pertencimento a uma reta ligando os extremos das não linearidades de forma que $z_i \in [a_i^{min}, a_i^{max}]$,

$$z_i(x) = \omega_i^{min}(x)a_i^{min} + \omega_i^{max}(x)a_i^{max} \quad (17)$$

$$z_i(x) = (1 - \omega_i^{max}(x))a_i^{min} + \omega_i^{max}(x)a_i^{max} \quad (18)$$

$$\omega_i^{max}(x) = \frac{z_i(x) - a_i^{min}}{a_i^{max} - a_i^{min}}, \forall i = 1, 2, 3 \quad (19)$$

Onde $\omega_i^{min}(x) = 1 - \omega_i^{max}(x)$ de forma que definimos as funções de pertencimento das não linearidades como,

$$\omega_1^{max}(x) = \frac{\cos(\theta) - 1}{1 - 0.1736} \quad (20)$$

$$\omega_2^{max}(x) = \frac{\sin(\theta)\omega + 0.3438}{0.3438 + 0.3438} \quad (23)$$

$$\omega_3^{max}(x) = \frac{\cos(\alpha)\text{sinc}(\theta) - 0.6946}{1 - 0.6946} \quad (26)$$

$$\omega_1^{min}(x) = 1 - \frac{\cos(\theta) - 1}{1 - 0.1736} \quad (21)$$

$$\omega_2^{min}(x) = 1 - \frac{\sin(\theta)\omega + 0.3438}{0.3438 + 0.3438} \quad (24)$$

$$\omega_3^{min}(x) = 1 - \frac{\cos(\alpha)\text{sinc}(\theta) - 0.6946}{1 - 0.6946} \quad (27)$$

$$(22)$$

$$(25)$$

$$(28)$$

É possível notar que com 3 não linearidade teremos 8 vértice/regras (2^3) construir então a pertinência da regra como o produto das funções de pertencimento de cada vértice,

Regra 1: $z_1 = a_1^{max}, z_2 = a_2^{max}, z_3 = a_3^{max}, \eta_1(x) = \omega_1^{max}(x)\omega_2^{max}(x)\omega_3^{max}(x)$

Então,

$$E_1(z)\dot{x} = A_1(z)x + B_u u + B_{\alpha_1}(z)\bar{\alpha} \quad (29)$$

Regra 2: $z_1 = a_1^{\max}, z_2 = a_2^{\max}, z_3 = a_3^{\min}, \eta_2(x) = \omega_1^{\max}(x)\omega_2^{\max}(x)\omega_3^{\min}(x)$

Então,

$$E_2(z)\dot{x} = A_2(z)x + B_u u + B_{\alpha_2}(z)\bar{\alpha} \quad (30)$$

$$\vdots \quad (31)$$

Regra 8: $z_1 = a_1^{\min}, z_2 = a_2^{\min}, z_3 = a_3^{\min}, \eta_8(x) = \omega_1^{\min}(x)\omega_2^{\min}(x)\omega_3^{\min}(x)$

Então,

$$E_8(z)\dot{x} = A_8(z)x + B_u u + B_{\alpha_8}(z)\bar{\alpha} \quad (32)$$

$$(33)$$

De forma que,

$$\eta(x) = \sum_{i=1}^8 \eta_i(x) = 1 \quad (34)$$

Note que $\eta(x)$ pertence ao simplex unitário, uma vez que as funções de pertinências podem ser vistas como funções de pertinência já normalizadas. Assim podemos escrever o modelo fuzzy do sistema como,

$$E(\eta(x))\dot{x} = A(\eta(x))x + B_u u + B_{\alpha}(\eta(x))\bar{\alpha} \quad (35)$$

$$\sum_{i=1}^8 \eta_i(x) E_i \dot{x} = \sum_{i=1}^8 \eta_i(x) A_i x + \sum_{i=1}^8 \eta_i(x) B_u u + \sum_{i=1}^8 \eta_i(x) B_{\alpha_i} \bar{\alpha} \quad (36)$$

1.3 Código - ScriptTakagiSugenoModel.m

```

1  clear
2  clc
3  disp('+++++')
4  disp('--> Running File "ScriptTakagiSugenoModel.m"')
5  disp('+++++')
6  syms M m l g kv real
7  syms z1 z2 z3 real
8
9  Ez = [1 0 0 0;...
10 0 1 0 0;...
11 0 0 M+m -m*l*z1;...
12 0 0 -m*l*z1 m*l^2];
13
14 Az = [0 0 1 0;...
15 0 0 0 1;...
16 0 0 -kv -m*l*z2;...
17 0 m*g*l*z3 0 0];
18
19 Bz = [0;0;1;0];
20
21 Baz = [0;0; -(M+m)*g;m*g*l*z1];
22
23 syms s theta v omega alfa sintheta real
24
25
26
```

```

27  %% Define Function sinc(x) = sin(x)/x
28  sinceq = @(x) sin(x)/x;
29  %% Implementa Funcao para Pegar Pertencimento da Regra
30  getw = @(gx,max,min) (gx-min)/(max - min);
31  %% Sector Non Linearities
32  Z1 = subs(z1,cos(theta));
33  Z2 = subs(z2,sin(theta)*omega);
34  Z3 = subs(z3,cos(alfa)*sin(theta));
35  Z = [Z1;Z2;Z3];
36  %% Acha o Minimo de Z1
37  IntervalTheta = [-deg2rad(80) deg2rad(80)];
38  it =1;
39  minZ1= 100;
40  maxZ1 =0;
41  for th = IntervalTheta(1):0.0175:IntervalTheta(2)
42  teste(it) = cos(th);
43  if teste(it) < minZ1
44  minZ1 = teste(it);
45  end
46  if teste(it) > maxZ1
47  maxZ1 = teste(it);
48  end
49  it = it+1;
50  end
51
52
53  az1max = maxZ1;
54  az1min = minZ1;
55  wz1max = getw(Z1,az1max,az1min);
56  wz1min = 1 - wz1max;
57
58
59  %% Acha o Minimo de Z2
60  it =1;
61  minZ2= 100;
62  maxZ2 =0;
63  IntervalOmega = [-deg2rad(20) deg2rad(20)];
64  for th = IntervalTheta(1):0.0175:IntervalTheta(2)
65  for om = IntervalOmega(1):0.0175:IntervalOmega(2)
66  teste(it) = sin(th)*om;
67  if teste(it) < minZ2
68  minZ2 = teste(it);
69  end
70  if teste(it) > maxZ2
71  maxZ2 = teste(it);
72  end
73  it = it+1;
74  end
75  end
76
77
78  az2max = maxZ2;
79  az2min = minZ2;
80  wz2max = getw(Z2,az2max,az2min);
81  wz2min = 1 - wz2max;
82
83
84  %% Acha o Minimo de Z3
85  it =1;
86  minZ3= 100;
87  maxZ3 =0;
88  % IntervalAlfa = [-0.1745 0.1745];
89  IntervalAlfa = [-deg2rad(10) deg2rad(10)];
90  for th = IntervalTheta(1):0.0175:IntervalTheta(2)
91  for al = IntervalAlfa(1):0.0175:IntervalAlfa(2)
92  teste(it) = cos(al)*sinceq(th);
93  if th == 0
94  teste(it) = cos(al);
95  end
96  if teste(it) < minZ3

```

```

97 minZ3 = teste(it);
98 end
99 if teste(it) > maxZ3
100 maxZ3 = teste(it);
101 end
102 it = it+1;
103 end
104 end
105
106
107 az3max = maxZ3;
108 az3min = minZ3;
109 wz3max = getw(Z3,az3max,az3min);
110 wz3min = 1 - wz3max ;
111
112 %% Define Vertices
113 vertices = 2^(length(Z))
114 E_ = cell(vertices,1);
115 A_ = cell(vertices,1);
116 Bu_ = cell(vertices,1);
117 Ba_ = cell(vertices,1);
118 %% Regra 1 max max max
119 E_{1} = subs(Ez,z1,az1max);
120 A_{1} = subs(Az,[z2 z3],[az2max az3max ]);
121 Bu_{1} = Bz;
122 Ba_{1} = subs(Baz,z1,az1max);
123 h(1) = wz1max*wz2max*wz3max;
124 %% Regra 2 max max min
125 E_{2} = subs(Ez,z1,az1max);
126 A_{2} = subs(Az,[z2 z3],[az2max az3min ]);
127 Bu_{2} = Bz;
128 Ba_{2} = subs(Baz,z1,az1max);
129 h(2) = wz1max*wz2max*wz3min;
130 %% Regra 3 max min max
131 E_{3} = subs(Ez,z1,az1max);
132 A_{3} = subs(Az,[z2 z3],[az2min az3max ]);
133 Bu_{3} = Bz;
134 Ba_{3} = subs(Baz,z1,az1max);
135 h(3) = wz1max*wz2min*wz3max;
136 %% Regra 4 max min min
137 E_{4} = subs(Ez,z1,az1max);
138 A_{4} = subs(Az,[z2 z3],[az2min az3min ]);
139 Bu_{4} = Bz;
140 Ba_{4} = subs(Baz,z1,az1max);
141 h(4) = wz1max*wz2min*wz3min;
142 %% Regra 5 min max max
143 E_{5} = subs(Ez,z1,az1min);
144 A_{5} = subs(Az,[z2 z3],[az2max az3max ]);
145 Bu_{5} = Bz;
146 Ba_{5} = subs(Baz,z1,az1min);
147 h(5) = wz1min*wz2max*wz3max;
148 %% Regra 6 min max min
149 E_{6} = subs(Ez,z1,az1min);
150 A_{6} = subs(Az,[z2 z3],[az2max az3min ]);
151 Bu_{6} = Bz;
152 Ba_{6} = subs(Baz,z1,az1min);
153 h(6) = wz1min*wz2max*wz3min;
154 %% Regra 7 min min max
155 E_{7} = subs(Ez,z1,az1min);
156 A_{7} = subs(Az,[z2 z3],[az2min az3max ]);
157 Bu_{7} = Bz;
158 Ba_{7} = subs(Baz,z1,az1min);
159 h(7) = wz1min*wz2min*wz3max;
160 %% Regra 8 min min min
161 E_{8} = subs(Ez,z1,az1min);
162 A_{8} = subs(Az,[z2 z3],[az2min az3min ]);
163 Bu_{8} = Bz;
164 Ba_{8} = subs(Baz,z1,az1min);
165 h(8) = wz1min*wz2min*wz3min;
166

```

```

167 %% check if h belongs to unitary simplex
168 test = simplify(sum(h))
169 if test == 1
170 disp('--> h belongs to the unitary simplex')
171 else
172 error('h doesnt belong to the unitary simplex')
173 end
174
175
176 %% Global Descriptor System
177 vertices = 8;
178 subvecParam = [M m l g kv];
179 subvecValues = [1.5 0.3 0.3 9.78 1];
180
181 for i = 1:vertices
182 E_{i} = double(subs(E_{i},subvecParam,subvecValues));
183 A_{i} = double(subs(A_{i},subvecParam,subvecValues));
184 Bu_{i} = double(subs(Bu_{i},subvecParam,subvecValues));
185 Ba_{i} = double(subs(Ba_{i},subvecParam,subvecValues));
186 % C_{i} = [0 0 1 0; 0 0 0 1];
187 C_{i} = eye(4);
188 end
189
190 % Define a pertinencia da regra como variavel global
191 %para ser usada pelo controlador
192 global PertinenciaNormalizada
193 PertinenciaNormalizada.h = h;
194
195 % Define vertices do sistema usados para controle
196 global DescriptorSystemDynamics
197
198 DescriptorSystemDynamics.E = E_;
199 DescriptorSystemDynamics.A = A_;
200 DescriptorSystemDynamics.Bu = Bu_;
201 DescriptorSystemDynamics.Ba = Ba_;
202 DescriptorSystemDynamics.C = C_;
203
204 disp('--> Takagi Sugeno Model Obtained')
205 disp('+++++')

```

Listing 1: Script Constrói Modelo TS

2 Controle

2.1 Lei de Controle PDC

A lei de controle PDC toma a forma,

$$u = \sum_{j=1}^8 \eta_j(x) K_j x \quad (37)$$

Além disso, as seguintes afirmações do Lemma de Finsler serão utilizadas,

$$\begin{cases} \hat{x}' Q \hat{x} < 0, \forall \mathfrak{B} \hat{x} = 0 \\ Q + \mathcal{X} \mathfrak{B} + \mathfrak{B}' \mathcal{X} < 0 \end{cases} \quad (38)$$

Definindo uma função de Lyapunov quadrática com os estados tal que $P > 0$,

$$V = x' P x \quad (39)$$

$$\dot{V} = \dot{x}' P x + x' P \dot{x} < 0 \quad (40)$$

$$\dot{V} = \begin{bmatrix} x' & \dot{x}' & \hat{\alpha}' \end{bmatrix} \begin{bmatrix} \emptyset & P & \emptyset \\ * & \emptyset & \emptyset \\ * & * & \emptyset \end{bmatrix} \begin{bmatrix} x \\ \dot{x} \\ \hat{\alpha} \end{bmatrix} < 0, \forall \mathfrak{B} \hat{x} = 0 \quad (41)$$

Para obter \mathfrak{B} vamos tomar a equação da dinâmica em malha fechada,

$$\sum_{i=1}^8 \eta_i(x) \mathbf{E}_i \dot{\mathbf{x}} = \sum_{i=1}^8 \sum_{j=1}^8 \eta_i(x) \eta_j(x) (\mathbf{A}_i + \mathbf{B}_{\mathbf{u}_i} \mathbf{K}_j) \mathbf{x} + \sum_{i=1}^8 \eta_i(x) \mathbf{B}_{\alpha_i} \bar{\alpha} \quad (42)$$

$$\mathbf{E}(\eta(x)) \dot{\mathbf{x}} = (\mathbf{A}(\eta(x)) + \mathbf{B}_{\mathbf{u}}(\eta(x)) \mathbf{K}(\eta(x))) \mathbf{x} + \mathbf{B}_{\alpha}(\eta(x)) \bar{\alpha} \quad (43)$$

$$\begin{bmatrix} \mathbf{A}(\eta(x)) + \mathbf{B}_{\mathbf{u}}(\eta(x)) \mathbf{K}(\eta(x)) & -\mathbf{E}(\eta(x)) & \mathbf{B}_{\alpha}(\eta(x)) \end{bmatrix} \begin{bmatrix} \mathbf{x} \\ \dot{\mathbf{x}} \\ \hat{\alpha} \end{bmatrix} = 0 \quad (44)$$

De forma que $\mathfrak{B} = \begin{bmatrix} \mathbf{A}(\eta(x)) + \mathbf{B}_{\mathbf{u}}(\eta(x)) \mathbf{K}(\eta(x)) & -\mathbf{E}(\eta(x)) & \mathbf{B}_{\alpha}(\eta(x)) \end{bmatrix}$ e tomando as variveis de folga, $\mathcal{X} = \begin{bmatrix} \mathcal{X}_1 \\ \mathcal{X}_2 \\ \mathcal{X}_3 \end{bmatrix} = \begin{bmatrix} \mathcal{X}^{-T} \\ \mu \mathcal{X}^{-T} \\ \emptyset \end{bmatrix}$ onde μ é um escalar positivo. Tomando então a segunda relação de Finsler mostrada em (38),

$$\begin{bmatrix} \emptyset & \mathbf{P} & \emptyset \\ * & \emptyset & \emptyset \\ * & * & \emptyset \end{bmatrix} + \begin{bmatrix} \mathcal{X}^{-T} \\ \mu \mathcal{X}^{-T} \\ \emptyset \end{bmatrix} \begin{bmatrix} \mathbf{A}(\eta(x)) + \mathbf{B}_{\mathbf{u}}(\eta(x)) \mathbf{K}(\eta(x)) & -\mathbf{E}(\eta(x)) & \mathbf{B}_{\alpha}(\eta(x)) \end{bmatrix} \quad (45)$$

$$+ \begin{bmatrix} \mathbf{A}(\eta(x))' + \mathbf{K}(\eta(x))' \mathbf{B}_{\mathbf{u}}(\eta(x))' \\ -\mathbf{E}(\eta(x))' \\ \mathbf{B}_{\alpha}(\eta(x))' \end{bmatrix} \begin{bmatrix} \mathcal{X}^{-1} & \mu \mathcal{X}^{-1} & \emptyset \end{bmatrix} < 0$$

$$\begin{bmatrix} \mathcal{X}^{-T} \left\{ \mathbf{A}(\eta(x)) + \mathbf{B}_{\mathbf{u}}(\eta(x)) \mathbf{K}(\eta(x)) \right\} + \left\{ \mathbf{A}(\eta(x))' + \mathbf{K}(\eta(x))' \mathbf{B}_{\mathbf{u}}(\eta(x))' \right\} \mathcal{X}^{-1} & \mathbf{P} - \mathcal{X}^{-T} \mathbf{E}(\eta(x)) + \mu \left\{ \mathbf{A}(\eta(x))' + \mathbf{K}(\eta(x))' \mathbf{B}_{\mathbf{u}}(\eta(x))' \right\} \mathcal{X}^{-1} & \mathcal{X}^{-T} \mathbf{B}_{\alpha}(\eta(x)) \\ * & -\mu \mathcal{X}^{-T} \mathbf{E}(\eta(x)) - \mu \mathbf{E}(\eta(x))' \mathcal{X}^{-1} & \mu \mathcal{X}^{-T} \mathbf{B}_{\alpha}(\eta(x)) \\ * & * & \emptyset \end{bmatrix} < 0 \quad (46)$$

Fazendo uma transformação de congruência multiplicando pelo lado direito por $\begin{bmatrix} \mathcal{X} & \emptyset & \emptyset \\ * & \mathcal{X} & \emptyset \\ * & * & \emptyset \end{bmatrix}$ e por sua transposta no lado esquerdo,

$$\begin{bmatrix} \mathbf{A}(\eta(x)) \mathcal{X} + \mathbf{B}_{\mathbf{u}}(\eta(x)) \mathbf{K}(\eta(x)) \mathcal{X} + \mathcal{X}' \mathbf{A}(\eta(x))' + \mathcal{X}' \mathbf{K}(\eta(x)) \mathbf{B}_{\mathbf{u}}(\eta(x))' & \mathcal{X}' \mathbf{P} \mathcal{X} - \mathbf{E}(\eta(x)) \mathcal{X} + \mu \mathcal{X}' \mathbf{A}(\eta(x))' + \mu \mathcal{X}' \mathbf{K}(\eta(x))' \mathbf{B}_{\mathbf{u}}(\eta(x))' & \emptyset \\ * & -\mu \mathbf{E}(\eta(x)) \mathcal{X} - \mu \mathcal{X}' \mathbf{E}(\eta(x))' & \emptyset \\ * & * & \emptyset \end{bmatrix} < 0 \quad (47)$$

Fazendo uma transformação do tipo $\bar{\mathbf{P}} = \mathcal{X}' \mathbf{P} \mathcal{X}$ e $\mathcal{Y}(\eta(x)) = \mathbf{K}(\eta(x)) \mathcal{X}$ e eliminando as colunas com zeros para ajudar na implementação, obtemos a seguinte desigualdade matricial.

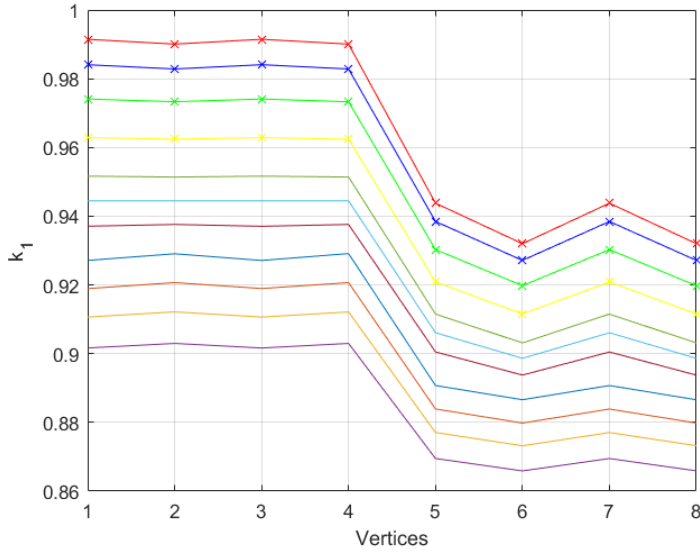
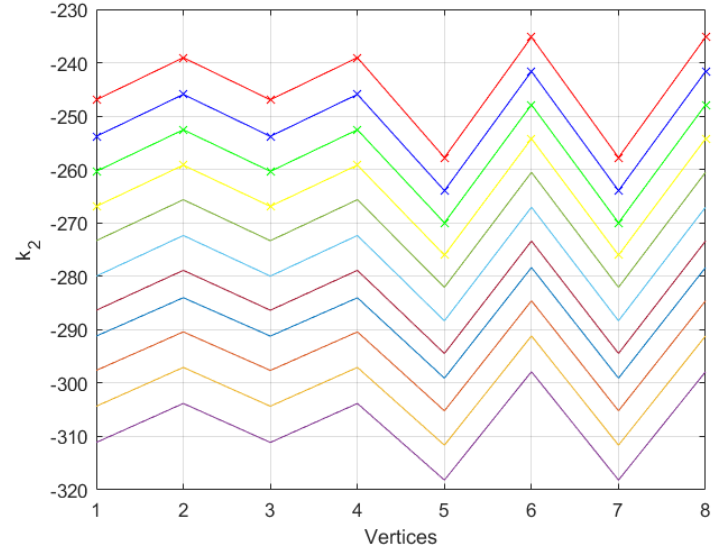
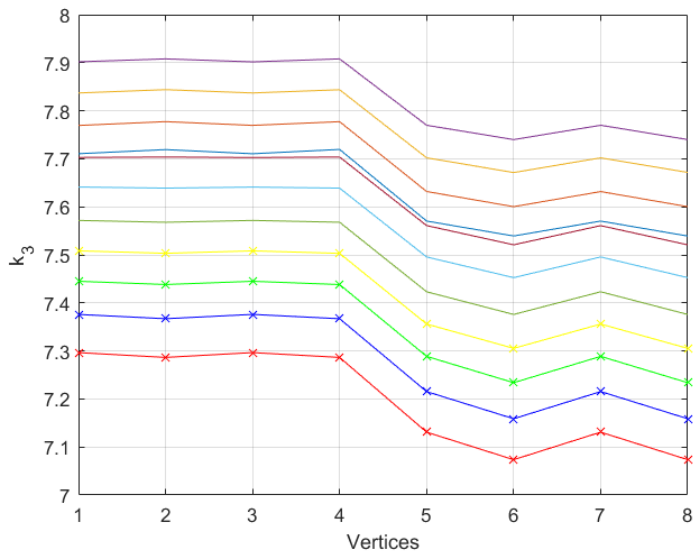
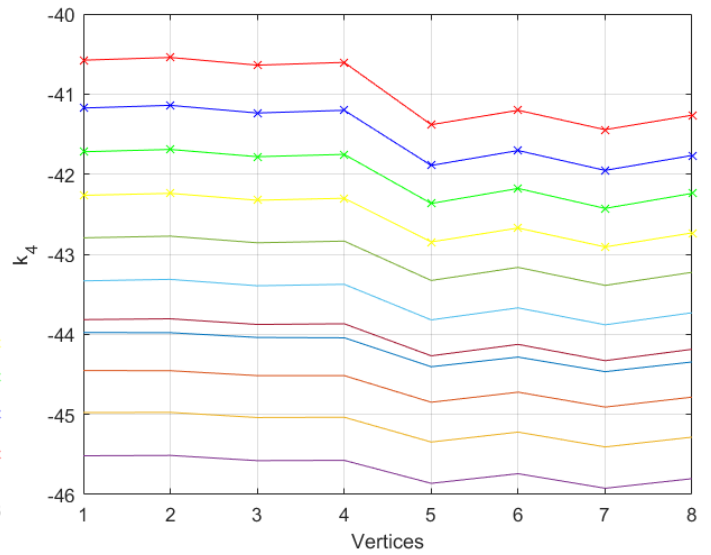
$$\begin{bmatrix} \mathbf{A}(\eta(x)) \mathcal{X} + \mathcal{X}' \mathbf{A}(\eta(x))' + \mathbf{B}_{\mathbf{u}}(\eta(x)) \mathcal{Y}(\eta(x)) + \mathcal{Y}(\eta(x))' \mathbf{B}_{\mathbf{u}}(\eta(x))' & \bar{\mathbf{P}} - \mathbf{E}(\eta(x)) \mathcal{X} + \mu (\mathcal{X}' \mathbf{A}(\eta(x))' + \mathcal{Y}(\eta(x))' \mathbf{B}_{\mathbf{u}}(\eta(x))') \\ * & -\mu (\mathbf{E}(\eta(x)) \mathcal{X} + \mathcal{X}' \mathbf{E}(\eta(x))') \end{bmatrix} < 0 \quad (48)$$

Chamando essa desigualdade matricial acima de Φ , homogenizando os termos, e lembrando que $(\cdot)(\eta(x)) = \sum_{i=1}^8 \eta_i(\cdot)_i$ podemos achar as condições de LMI suficientes dadas abaixo,

$$\begin{cases} \bar{\mathbf{P}} > 0 \\ \Phi_{ii} < 0, \forall i \\ \Phi_{ij} + \Phi_{ji} < 0, \text{ onde } 1 \leq i \leq 7 \text{ e } 2 \leq j \leq 8 \end{cases} \quad (49)$$

2.1.1 Resultados PDC Control

Uma busca foi feita para se obter o escalar μ o variando de 10 até 20 com o passo fixo de 1, e analisando os resultados dos ganhos para avaliar a escolha do escalar. Os resultados de como μ influência nos ganhos do controlador são mostrados abaixo.

(a) k_1 (b) k_2 (a) k_3 (b) k_4

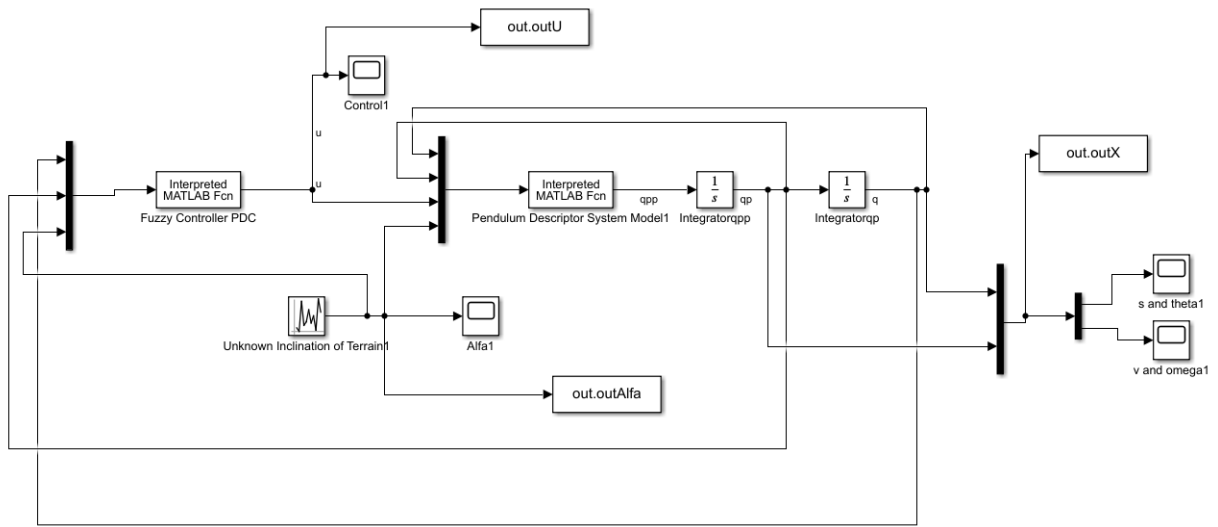
Selecionando-se então $\mu = 10$ os resultados factíveis da otimização do solver SeDuMi são mostrados abaixo.

```

1 ++++++
2 | ID| Constraint| Primal residual| Dual residual|
3 ++++++
4 | #1| Matrix inequality| 6.5607e-05| 2.2051e-14|
5 | #2| Matrix inequality| 5.3298e-06| 8.1486e-14|
6 | #3| Matrix inequality| 6.5607e-05| 2.2051e-14|
7 | #4| Matrix inequality| 1.7589e-06| 8.1058e-14|
8 | #5| Matrix inequality| 6.5607e-05| 2.2051e-14|
9 | #6| Matrix inequality| 5.3298e-06| 8.1483e-14|
10 | #7| Matrix inequality| 6.5607e-05| 2.2051e-14|
11 | #8| Matrix inequality| 1.7589e-06| 8.1058e-14|
12 | #9| Matrix inequality| 6.5607e-05| 2.2051e-14|
13 | #10| Matrix inequality| 2.2195e-06| 7.5549e-14|
14 | #11| Matrix inequality| 6.5607e-05| 2.2051e-14|
15 | #12| Matrix inequality| 1.8181e-06| 8.0837e-14|
16 | #13| Matrix inequality| 6.5607e-05| 2.2051e-14|
17 | #14| Matrix inequality| 2.2196e-06| 7.5547e-14|
18 | #15| Matrix inequality| 6.5607e-05| 2.2051e-14|
19 | #16| Matrix inequality| 1.8181e-06| 8.0835e-14|
20 | #17| Matrix inequality| 8.908e-06| 4.2021e-14|
21 | #18| Matrix inequality| 1.066e-05| 4.4286e-14|
22 | #19| Matrix inequality| 8.908e-06| 4.2021e-14|
23 | #20| Matrix inequality| 1.5769e-05| 3.9693e-14|
24 | #21| Matrix inequality| 1.4005e-05| 4.0319e-14|
25 | #22| Matrix inequality| 1.5769e-05| 3.9693e-14|
26 | #23| Matrix inequality| 1.4005e-05| 4.0319e-14|
27 | #24| Matrix inequality| 8.908e-06| 4.202e-14|
28 | #25| Matrix inequality| 3.5179e-06| 3.981e-14|
29 | #26| Matrix inequality| 1.4395e-05| 3.982e-14|
30 | #27| Matrix inequality| 9.2935e-06| 4.0339e-14|
31 | #28| Matrix inequality| 1.4395e-05| 3.982e-14|
32 | #29| Matrix inequality| 9.2935e-06| 4.0339e-14|
33 | #30| Matrix inequality| 8.908e-06| 4.202e-14|
34 | #31| Matrix inequality| 1.5769e-05| 3.9692e-14|
35 | #32| Matrix inequality| 1.4005e-05| 4.0319e-14|
36 | #33| Matrix inequality| 1.5769e-05| 3.9692e-14|
37 | #34| Matrix inequality| 1.4005e-05| 4.0318e-14|
38 | #35| Matrix inequality| 1.4395e-05| 3.982e-14|
39 | #36| Matrix inequality| 9.2935e-06| 4.0339e-14|
40 | #37| Matrix inequality| 1.4395e-05| 3.982e-14|
41 | #38| Matrix inequality| 9.2935e-06| 4.0339e-14|
42 | #39| Matrix inequality| 1.3658e-05| 3.9955e-14|
43 | #40| Matrix inequality| 4.4391e-06| 3.7045e-14|
44 | #41| Matrix inequality| 1.3658e-05| 3.9955e-14|
45 | #42| Matrix inequality| 1.3658e-05| 3.9955e-14|
46 | #43| Matrix inequality| 3.6363e-06| 3.8506e-14|
47 | #44| Matrix inequality| 1.3658e-05| 3.9954e-14|
48 ++++++
49 | A primal-dual optimal solution would show non-negative residuals.|
50 | In practice, many solvers converge to slightly infeasible |
51 | solutions, which may cause some residuals to be negative. |
52 | It is up to the user to judge the importance and impact of |
53 | slightly negative residuals (i.e. infeasibilities) |
54 | https://yalmip.github.io/command/check/ |
55 | https://yalmip.github.io/faq/solutionviolated/ |
56 ++++++

```

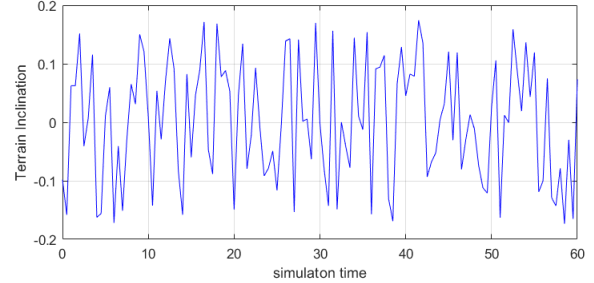
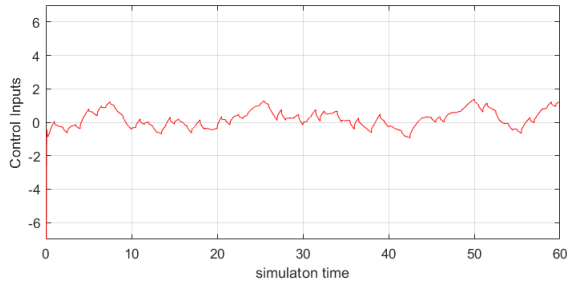
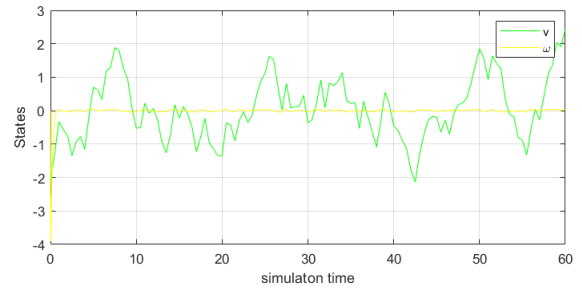
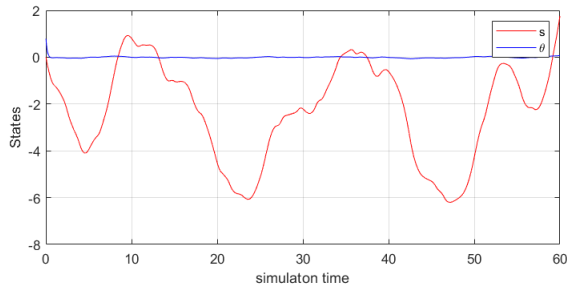
Para simular o comportamento do sistema um Simulink foi criado como mostrado na figura.



OBS: apesar de no simulink constar o nome "Pendulum Descriptor System Model1" o modelo implementado foi o dado por (1).

Uma simulação com 60 segundos de duração foi feita, tendo como condições iniciais $\mathbf{q}(0) = \begin{bmatrix} 0 \\ \pi/4 \end{bmatrix}$ e $\dot{\mathbf{q}}(0) = \begin{bmatrix} 0 \\ 0 \end{bmatrix}$, e com a inclinação do terreno aleatória variando entre mais ou menos dez graus. Os resultados dos estados e entrada de controle são mostrados abaixo.

Results For PDC Controller



2.2 Lei de Controle PDC com \mathcal{H}_∞

A mesma lei de controle PDC será utilizada bem como as afirmações do Lemma de Finsler ,

$$u = \sum_{j=1}^8 \eta_j(x) K_j x \quad (50)$$

Essa será uma demonstração muito mais rápida e com menos detalhes. Tomando a derivada temporal da função de Lyapunov a mesma assumirá a seguinte forma para o problema do \mathcal{H}_∞ . Assumindo $z = Cx + D_\alpha \hat{\alpha}$

$$\dot{V} + \frac{1}{\gamma} x' C' C x - \gamma \bar{\alpha}' \bar{\alpha} < 0 \quad (51)$$

$$\begin{bmatrix} x' & \dot{x}' & \hat{\alpha}' \end{bmatrix} \left(\begin{bmatrix} \emptyset & P & \emptyset \\ * & \emptyset & \emptyset \\ * & * & -\gamma I \end{bmatrix} + \frac{1}{\gamma} \begin{bmatrix} C' \\ \emptyset \\ D'_\alpha \end{bmatrix} \begin{bmatrix} C & \emptyset & D_\alpha \end{bmatrix} \right) \begin{bmatrix} x \\ \dot{x} \\ \hat{\alpha} \end{bmatrix} < 0 \quad (52)$$

Tomando os mesmo passos de se multiplicar pelo lado direito e esquerdo pela mesma transformação de congruência utilizada para o controlador PDC, utilizando as mesmas transformações linearizantes, utilizando complemento de Schur e eliminando as colunas de zeros para facilitar a resolução do solver SeDuMi obtemos a seguinte desigualdade matricial,

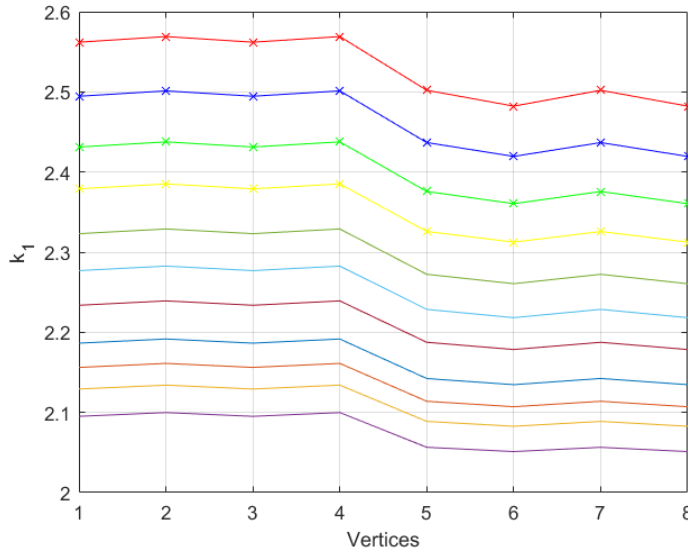
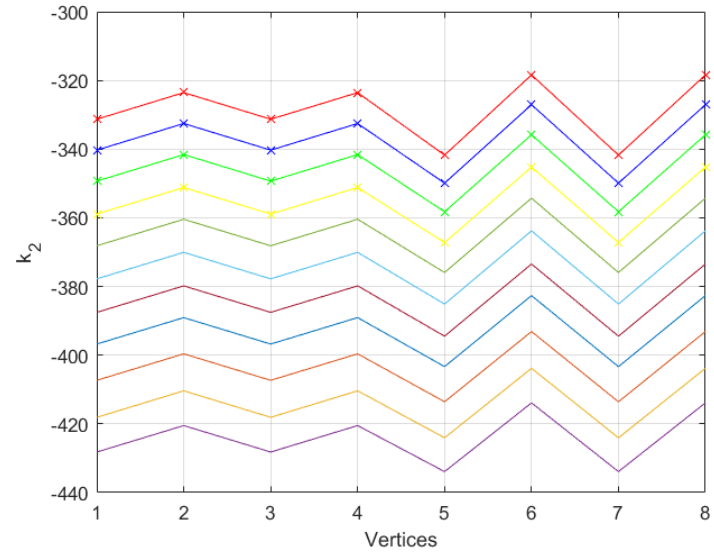
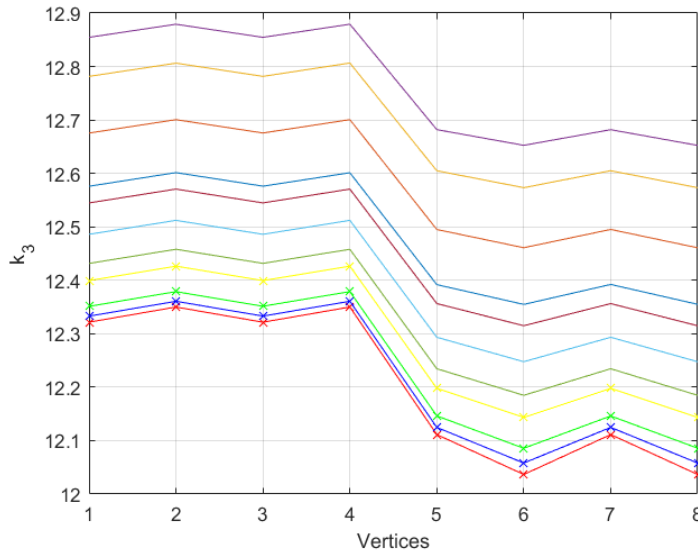
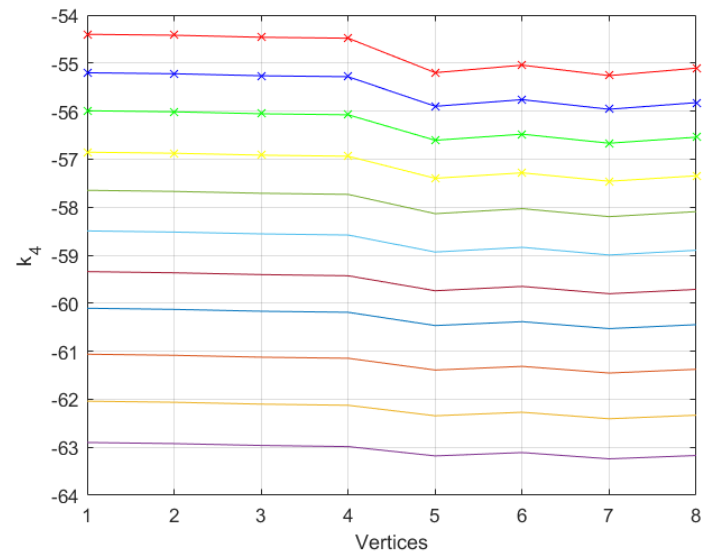
$$\begin{bmatrix} A(\eta(x))\mathcal{X} + \mathcal{X}'A(\eta(x))' + B_u(\eta(x))\mathcal{Y}(\eta(x)) + \mathcal{Y}(\eta(x))'B_u(\eta(x)) & \bar{P} - E(\eta(x))\mathcal{X} + \mu(\mathcal{X}'A(\eta(x))' + \mathcal{Y}(\eta(x))'B_u(\eta(x))') & \mathcal{X}'C' \\ * & -\mu(E(\eta(x))\mathcal{X} + \mathcal{X}'E(\eta(x))') & \emptyset \\ * & * & -\gamma I \end{bmatrix} < 0 \quad (53)$$

Chamando a desigualdade de Ψ , homogenizando os termos e lembrando que $\bar{P} = \mathcal{X}'P\mathcal{X}$ e $\mathcal{Y}(\eta(x)) = K(\eta(x))\mathcal{X}$, as seguintes LMIs devem ser implementadas.

$$\begin{cases} \bar{P} > 0 \\ \Psi_{ii} < 0, \forall i \\ \Psi_{ij} + \Psi_{ji} < 0, \text{ onde } 1 \leq i \leq 7 \text{ e } 2 \leq j \leq 8 \end{cases} \quad (54)$$

2.2.1 Resultados PDC com \mathcal{H}_∞

Uma busca foi feita para se obter o escalar μ o variando de 10 até 20 com o passo fixo de 1, e analisando os resultados dos ganhos para avaliar a escolha do escalar. Os resultados de como μ influência nos ganhos do controlador são mostrados abaixo.

(a) k_1 (b) k_2 (a) k_3 (b) k_4

Selecionando-se então $\mu = 10$ os resultados factíveis da otimização do solver SeDuMi são mostrados abaixo.

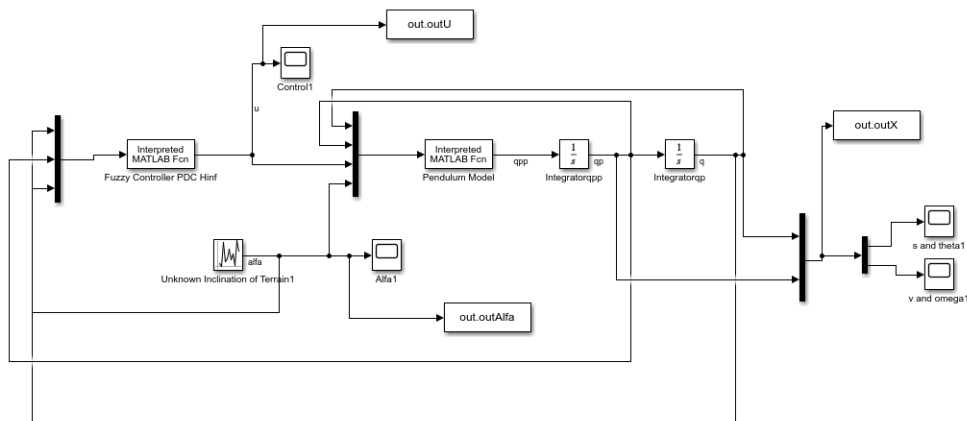
	ID	Constraint	Primal residual	Dual residual
1	#1	Matrix inequality	2.9312e-07	1.245e-14
2	#2	Matrix inequality	1.9837e-08	5.6459e-14
3	#3	Matrix inequality	2.9312e-07	1.245e-14
4	#4	Matrix inequality	3.5097e-09	5.6862e-14
5	#5	Matrix inequality	2.9312e-07	1.245e-14
6	#6	Matrix inequality	1.9837e-08	5.6463e-14
7	#7	Matrix inequality	2.9312e-07	1.245e-14
8	#8	Matrix inequality	3.5097e-09	5.6862e-14
9	#9	Matrix inequality	2.9312e-07	1.245e-14
10	#10	Matrix inequality	4.9461e-09	5.3139e-14
11	#11	Matrix inequality	2.9312e-07	1.245e-14
12	#12	Matrix inequality	3.6778e-09	5.743e-14
13	#13	Matrix inequality	2.9312e-07	1.245e-14

```

17 | #14| Matrix inequality| 4.9461e-09| 5.314e-14|
18 | #15| Matrix inequality| 2.9312e-07| 1.245e-14|
19 | #16| Matrix inequality| 3.6778e-09| 5.7426e-14|
20 | #17| Matrix inequality| 3.1635e-08| 2.8329e-14|
21 | #18| Matrix inequality| 3.9673e-08| 2.9228e-14|
22 | #19| Matrix inequality| 3.1635e-08| 2.8329e-14|
23 | #20| Matrix inequality| 5.002e-08| 2.7924e-14|
24 | #21| Matrix inequality| 4.421e-08| 2.8477e-14|
25 | #22| Matrix inequality| 5.002e-08| 2.7925e-14|
26 | #23| Matrix inequality| 4.421e-08| 2.8477e-14|
27 | #24| Matrix inequality| 3.1635e-08| 2.8329e-14|
28 | #25| Matrix inequality| 7.0194e-09| 2.5329e-14|
29 | #26| Matrix inequality| 4.6352e-08| 2.7937e-14|
30 | #27| Matrix inequality| 2.7814e-08| 2.8446e-14|
31 | #28| Matrix inequality| 4.6352e-08| 2.7937e-14|
32 | #29| Matrix inequality| 2.7814e-08| 2.8446e-14|
33 | #30| Matrix inequality| 3.1635e-08| 2.8329e-14|
34 | #31| Matrix inequality| 5.002e-08| 2.7925e-14|
35 | #32| Matrix inequality| 4.421e-08| 2.8478e-14|
36 | #33| Matrix inequality| 5.002e-08| 2.7926e-14|
37 | #34| Matrix inequality| 4.421e-08| 2.8477e-14|
38 | #35| Matrix inequality| 4.6352e-08| 2.7936e-14|
39 | #36| Matrix inequality| 2.7813e-08| 2.8446e-14|
40 | #37| Matrix inequality| 4.6352e-08| 2.7937e-14|
41 | #38| Matrix inequality| 2.7814e-08| 2.8446e-14|
42 | #39| Matrix inequality| 5.1287e-08| 2.7741e-14|
43 | #40| Matrix inequality| 9.8922e-09| 2.9111e-14|
44 | #41| Matrix inequality| 5.1287e-08| 2.7739e-14|
45 | #42| Matrix inequality| 5.1287e-08| 2.7741e-14|
46 | #43| Matrix inequality| 7.3556e-09| 2.5582e-14|
47 | #44| Matrix inequality| 5.1287e-08| 2.7739e-14|
48 ++++++
49 | A primal-dual optimal solution would show non-negative residuals.|
50 | In practice, many solvers converge to slightly infeasible |
51 | solutions, which may cause some residuals to be negative. |
52 | It is up to the user to judge the importance and impact of |
53 | slightly negative residuals (i.e. infeasibilities) |
54 | https://yalmip.github.io/command/check/ |
55 | https://yalmip.github.io/faq/solutionviolated/ |
56 ++++++

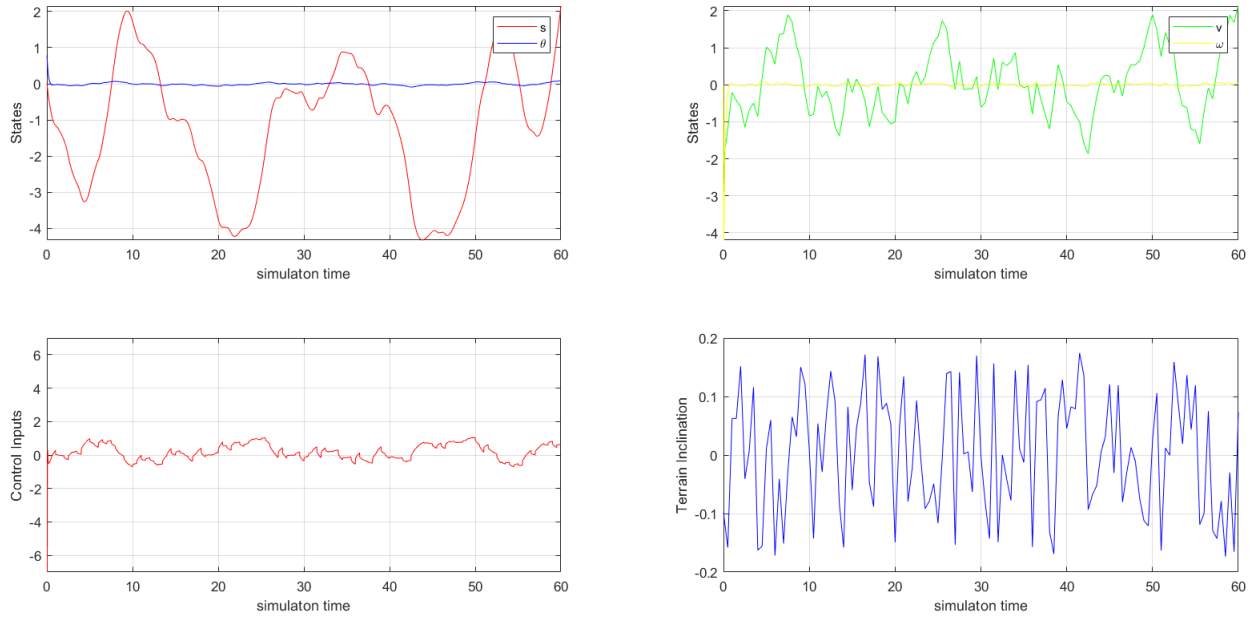
```

Para simular o comportamento do sistema um Simulink foi criado como mostrado na figura.



Uma simulação com 60 segundos de duração foi feita, tendo como condições iniciais $\mathbf{q}(0) = \begin{bmatrix} 0 \\ \frac{\pi}{4} \end{bmatrix}$ e $\dot{\mathbf{q}}(0) = \begin{bmatrix} 0 \\ 0 \end{bmatrix}$, e com a inclinação do terreno aleatória variando entre mais ou menos dez graus. Os resultados dos estados e entrada de controle são mostrados abaixo.

Results For PDC Mixed w/ Hinf Controller

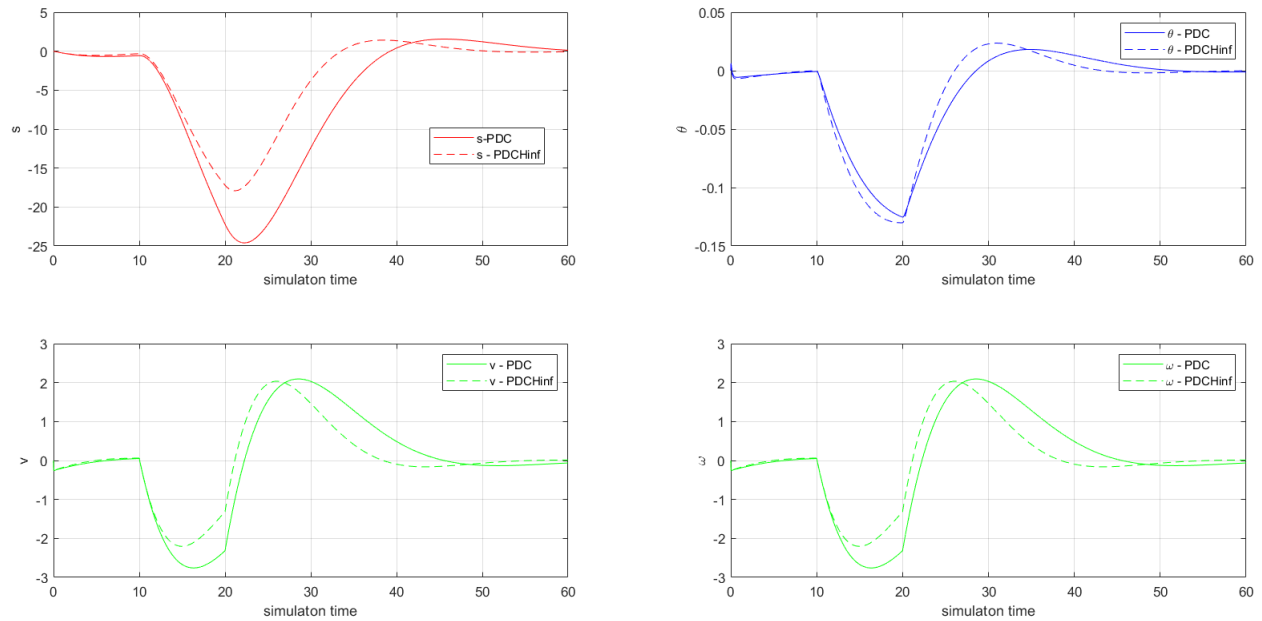


3 Comparação

3.1 Comparando os Controladores

Para comparar ambos os controladores primeiro modificou-se o simulink para ambos estarem submetidos a uma mesma perturbação, além disso as condições iniciais também foram iguais para ambos os sistemas, e o passo do solver de integração numérica foi definido como 0.001 para ambos os controladores. Os resultados são vistos abaixo.

Comparison Between PDC and PDC mix Hinf



Como se esperava o controlador com \mathcal{H}_∞ apresenta o melhor comportamento convergindo para zero no menor tempo e com menos *overshoot*.

As simulações podem ser testadas acessando meu repositório no github: [https://github.com/Jonatan29/ParallelDistributedCont](https://github.com/Jonatan29/ParallelDistributedCont/tree/master)
[tree/master](https://github.com/Jonatan29/ParallelDistributedCont/tree/master)